

1. まえがき

著盤・崩壊など岩盤の破壊現象に伴う災害は、岩盤力学や施工技術の進歩などによって、かなり減少してきているが、岩盤強度の不明確さや掘削に伴う挙動の多様性などもあって、上記の災害の防止を困難なものにしてしまう。このような不確定要素の多い破壊現象に関連する災害防止の手段の一つとして、危険予測技術の開発が強く求められている。岩石微震音は岩盤破壊の前駆的現象として発生するもので、著盤・崩壊の予測の手段として利用できる可能性は高いものと思われる。今までに各種の岩石について、微震音の性状および発生特性について追求してきたが、栃木県下にある大谷石採石場で発生した崩壊災害を契機として、大谷石の微震音の発生特性について室内実験・現場実験を通して検討した。大谷石は岩石学上流紋岩質軽石・凝灰岩であり、外観は粗く多孔質（空隙率20%）で風化侵蝕に弱いが、物理に乏しい。見掛け比重1.8前後で、圧縮強度は湿潤状態で約60kg/cm²である。

2. 実験

大谷石微震音の性状や発生特性を知るために、岩石試料について単純増加圧縮荷重 一定持続圧縮荷重 循返し圧縮荷重および曲げ荷重による破壊過程において発生する微震音を測定し解析した。室内実験では圧縮の場合は7x7x15cmの試料を、曲げの場合は15x15x60cmの試料を用いた。採掘現場での実験では岩盤を45x45x45cmに整形し岩盤ジャッキ試験を行なった。微震音の検出は圧電型加速度ピックアップを試料に取付け、チャージアンプにより增幅（利得は約90dB）し、データレコードに録音した。変形測定は差動トランジスタ位計 ダイヤルゲージを用いた。

3. 結果と考察

(1) 波形と周波数 微震音は一種の弾性衝撃波と考えられ立ち上がりはやくかつ減衰もはやいラップ状の振動波形を示し、周波数は6kHz前後のものが卓越している。各種の荷重条件による相違はあまり認められない。

(2) 微震音の発生パターン（荷重および変形と微震音の発生状況）

単純増加圧縮荷重による破壊過程：載荷とともに微震音は頻繁となるが、荷重の増加とともにその発生数は低下する傾向を示し、さらに荷重が増加し破壊が近づくと再び頻発するようになる。花崗岩・砂岩など他の多くの岩石では、載荷直後に頻発することはなく、通常破壊応力の60～70%の応力に達して発生数が増加はじめ、破壊に近づくにつれて頻発するのがふつうである。大谷石にみられる特異な発生パターンは、岩石の構成物質および組織の特殊性に依存するものと考えられる。顕微鏡観察によれば、岩石の大部分は軽石と火山ガラスより成り、一部に結晶鉱物と火山岩縞が点在している。また軽石部分には巻泡の痕跡があり、ガラス質は粘土鉱物に変化している。この事実から、低応力下で発生する微震音は岩石組織内の空隙の閉塞、あるいは粘土化した軽石部のすべりまたはキレツに伴うものと推定される。このことは微震音の発生と岩石の変形の進行との相関がたかることから説明できる。（図1）なお図中Nは各応力区間ににおける発生数で、Δε_Iはその応力区間ににおけるひずみの増加量である。

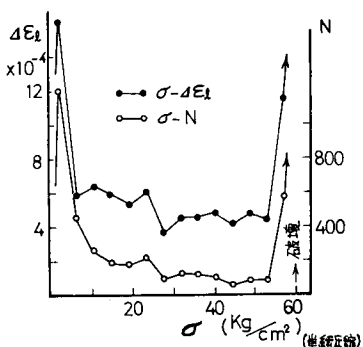


図1 微震音発生頻度曲線とひずみの変化量曲線

一定荷重持続荷重による破壊過程: この場合には定荷重(破壊 ΔE_1) 壞荷重の約90%)に達するまでの発生パターンは、前述の単純増加と同様であるが、定荷重状態での発生状況は図2にみられるように定荷重に達した直後は荷重増加中の影響をうけていくが、その後ひずみ速度が減少するにつれて発生数を減少し、ひずみ速度が一定となる区間での発生は少ない状態で推移し、さらに時間の経過とともに再び発生数が増加しはじめ、それと同時にひずみ速度を増加し、やがて破壊にいたる。このように定荷重下での発生パターンは、クリープ破壊であらわれると言ふべきである。図2のひずみ速度の変化に対応したパターンを示す。

曲げ破壊過程: この過程における微震音の発生の状況は前述の圧縮破壊でみられたパターンとはかなり異なっている。すなわち 図3にみられるおり全体的に発生数が少なく、載荷初期にもあまり頻繁しない。また破壊の直前で頻発するヒリューパターンとなる。これは両者の破壊のメカニズムの相違によりともたらされたものと考えられる。一般に岩石の引張破壊は岩石を構成する粒子を結合している接着物質の破壊によるものであり、圧縮破壊にみられる空隙の閉じ、粒界のすべりやクラックがあらわれ、接着物質の引張破壊が直ちに全体破壊に連なることと、ここに示されたパターンも対応する。

(3) 微震音の大きさ別発生頻度 すでに過去の実験によって明らかにしたことがあるが、破壊過程において発生する微震音はその振巾に大小がある。発生総数を大きさ別に分けそれぞれの発生度数を求めると、両者の間に $N(w) = k \cdot w^{-m}$ という統計的規則性が存在する。ここに $N(w)$ はエネルギー w を有する微震音の数で、 m は定数、 w は振巾を 2乗して微震音のエネルギーと定義したものである。今回の各種の破壊過程において発生した微震音についても上述の関係は成立した。 m の値は圧縮の場合で 1.7 前後となり、曲げの場合では 1.5 前後となつてある。(図4)

(4) 微震音の伝播による減衰 試験試料のような小片の岩石では微震音の発生源とピックアップの間の減衰は無視し得るが、実際の岩盤の場合には伝播による減衰が問題になる。この解明のためにピックアップ位置からある距離はあれた何点かの岩盤を打撃することによって衝撃波を発生させ、その受信振巾から伝播による減衰度を推定した。その結果は図5に示すように伝播による減衰はかなり大きいことが判明した。

4. あとがき

太谷石微震音と他の岩石の微震音との相違点として エネルギレベルが小さいこと、低応力域での発生頻度が大きいこと、全体破壊と発生時期の間隔が比較的短いことがあげられる。これらの事実は微震音の検出による崩壊の予測を行う上では有利なものとは考えられない。しかし 变形と微震音の発生パターンとの相関が高いうことなどから 今後危険想定岩盤での微震音の検出と変位測定などを併用し、多くのデータを蓄積することによって、予知技術を確立したいと考える。

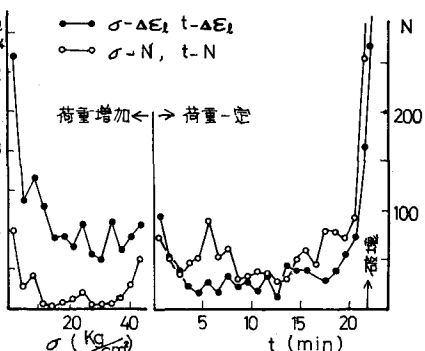


図2 微震音発生頻度曲線とひずみ変化曲線(一定荷重時)

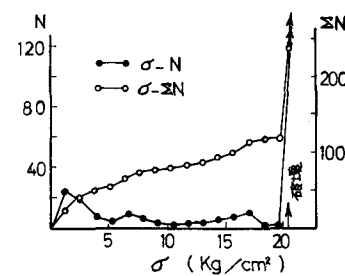


図3 微震音累積発生頻度と発生頻度曲線(曲げ時)

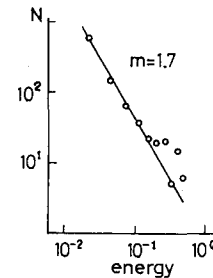


図4 エネルギー大きさ別発生頻度分布

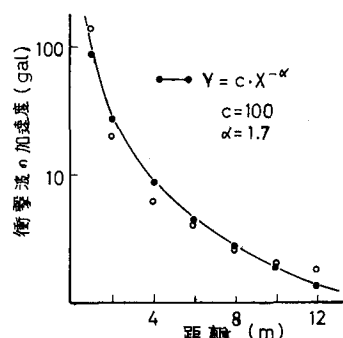


図5 打撃衝撃波の減衰試験

参考文献: 岩石の一軸圧縮破壊過程における微震音の発生特性

前半尾 材料 Vol.17, No.181